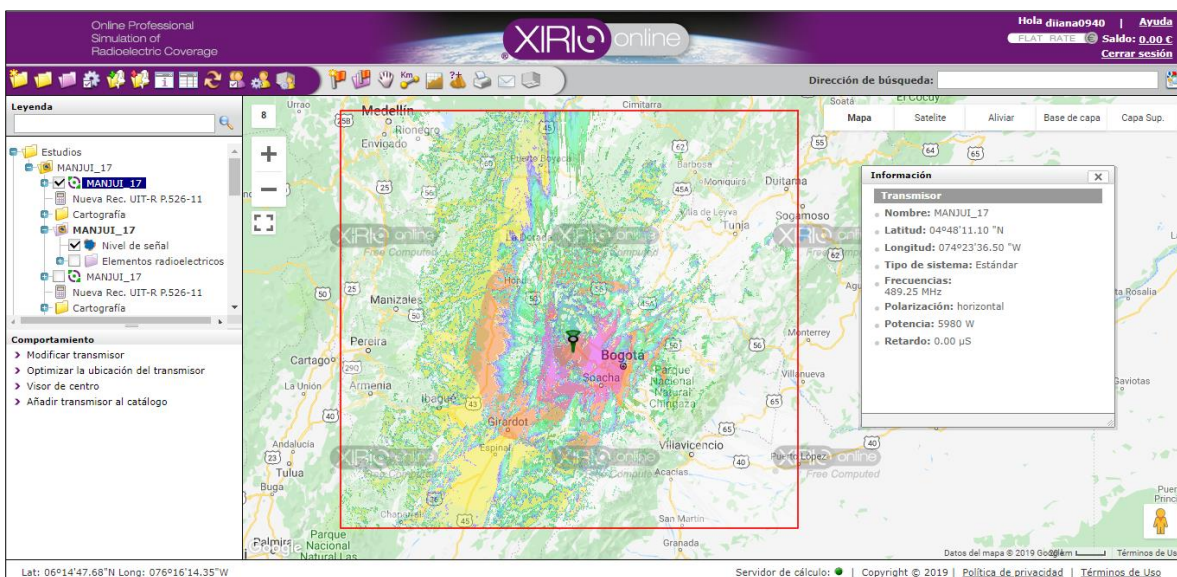


**Figura 87.** Simulación Longley Rice, Manjui canal 16

Estación Manjui, canal 17



**Figura 88.** Simulación de UIT-R P.526-11, Manjui canal 17

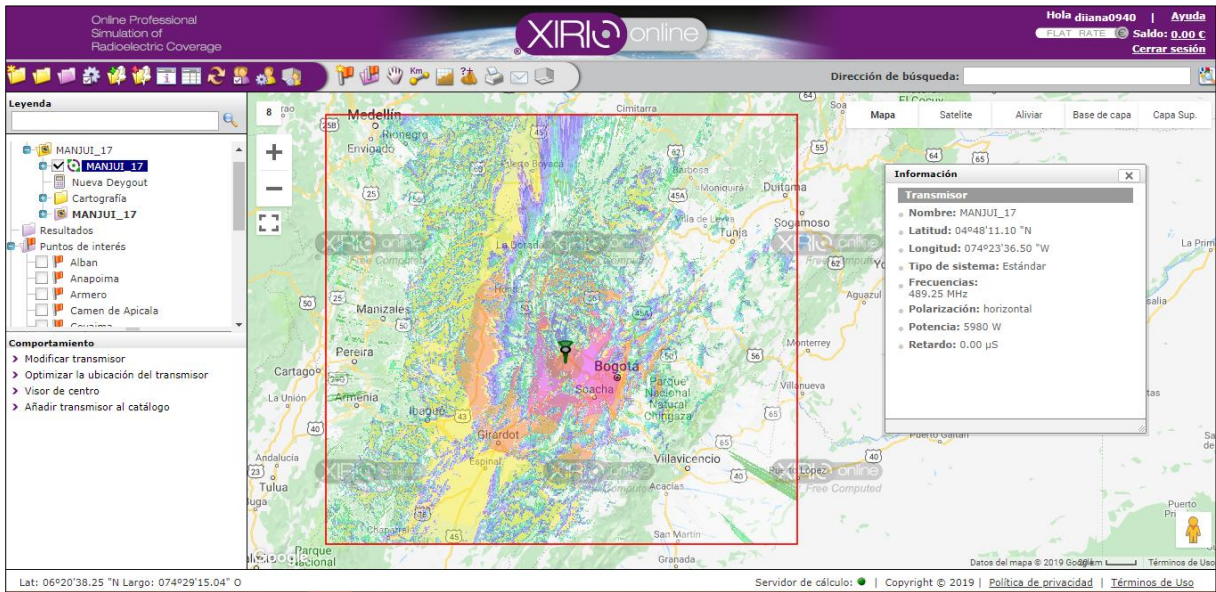


Figura 89. Simulación de Deygout, Manjui canal 17

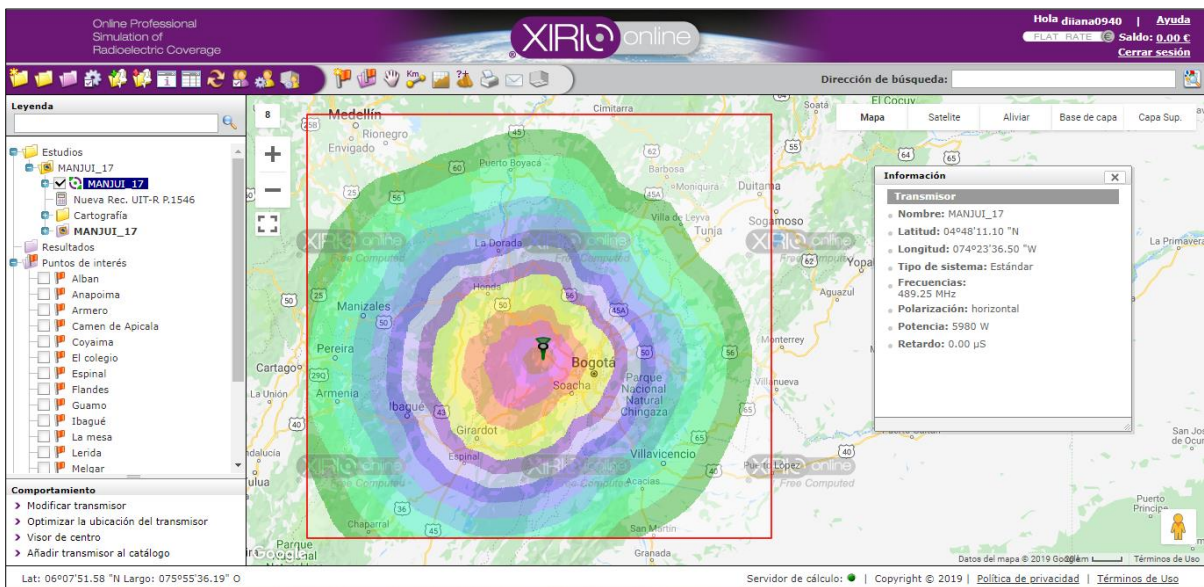


Figura 90. Simulación de UIT-R P.1546, Manjui canal 17

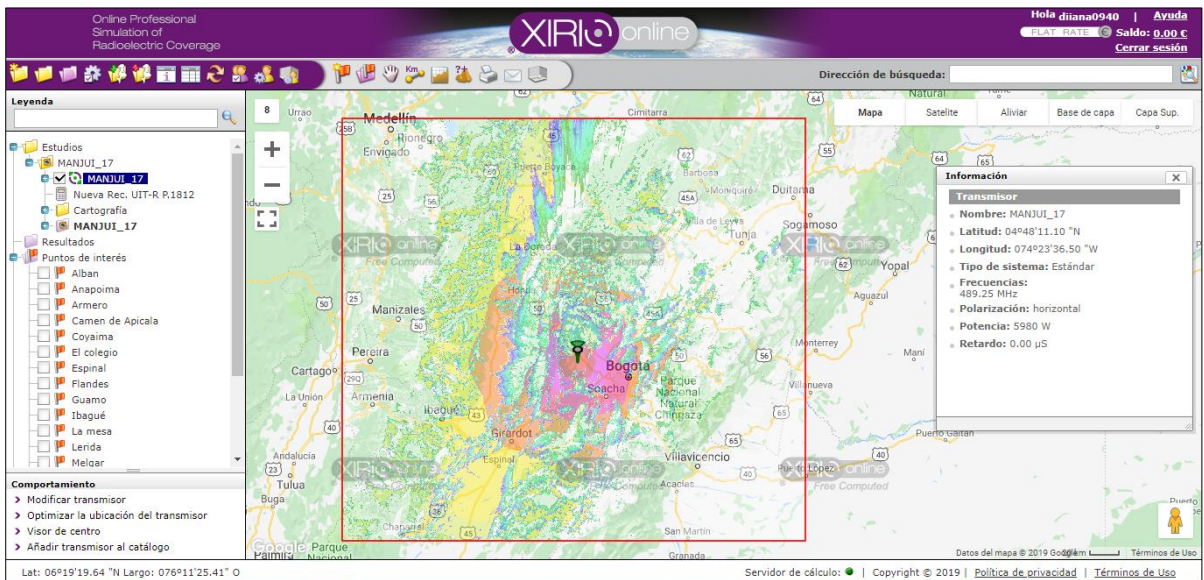


Figura 91. Simulación de UIT-R P.1812, Manjui canal 17

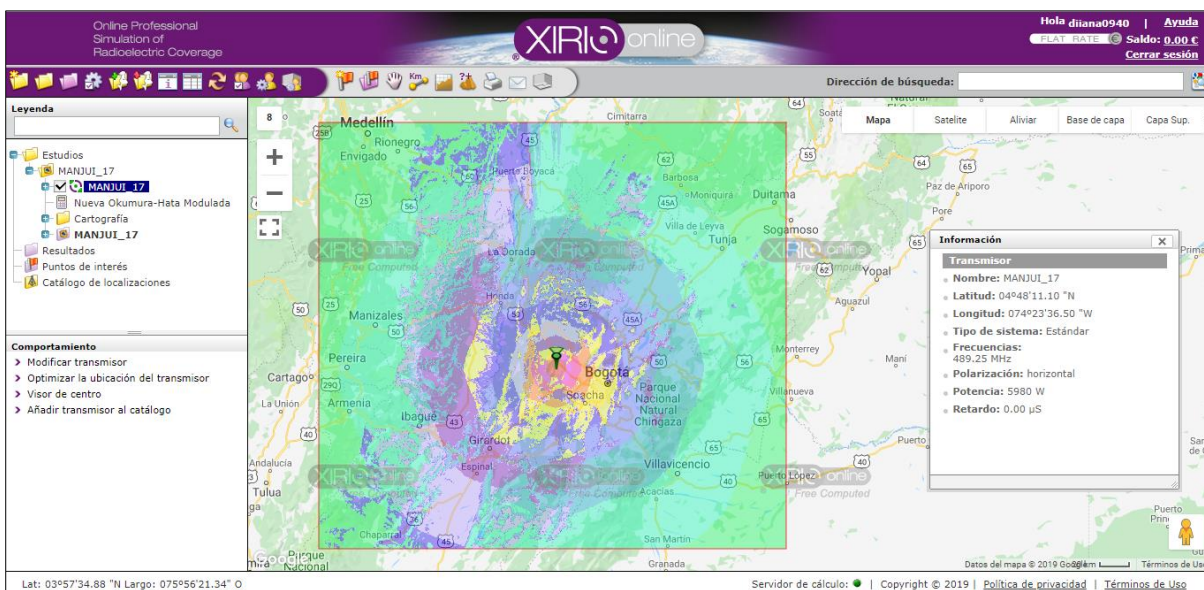
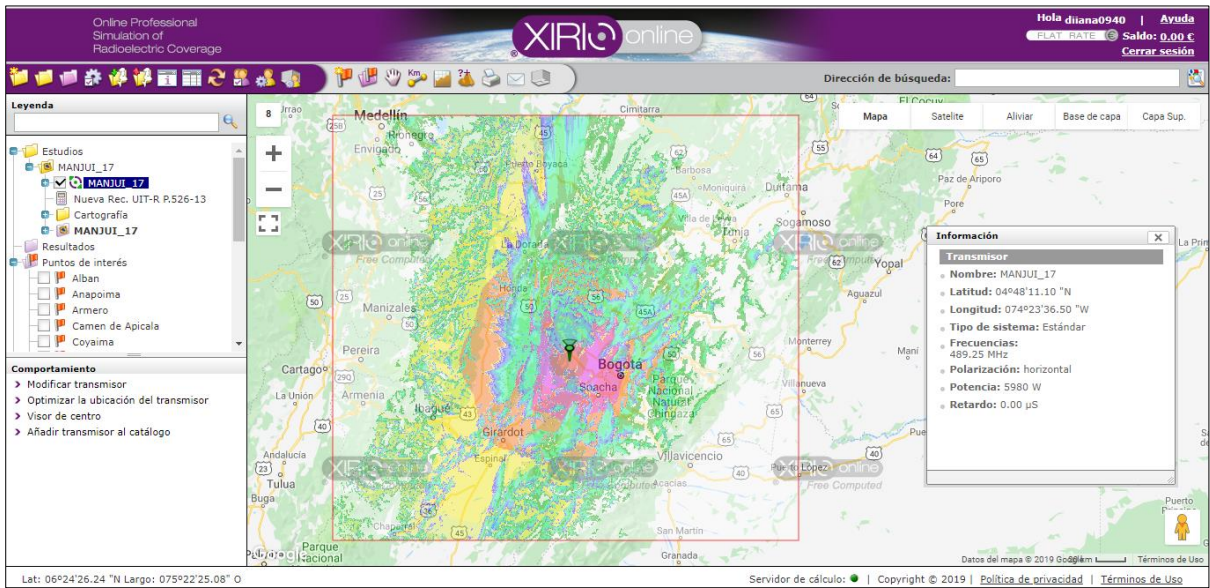
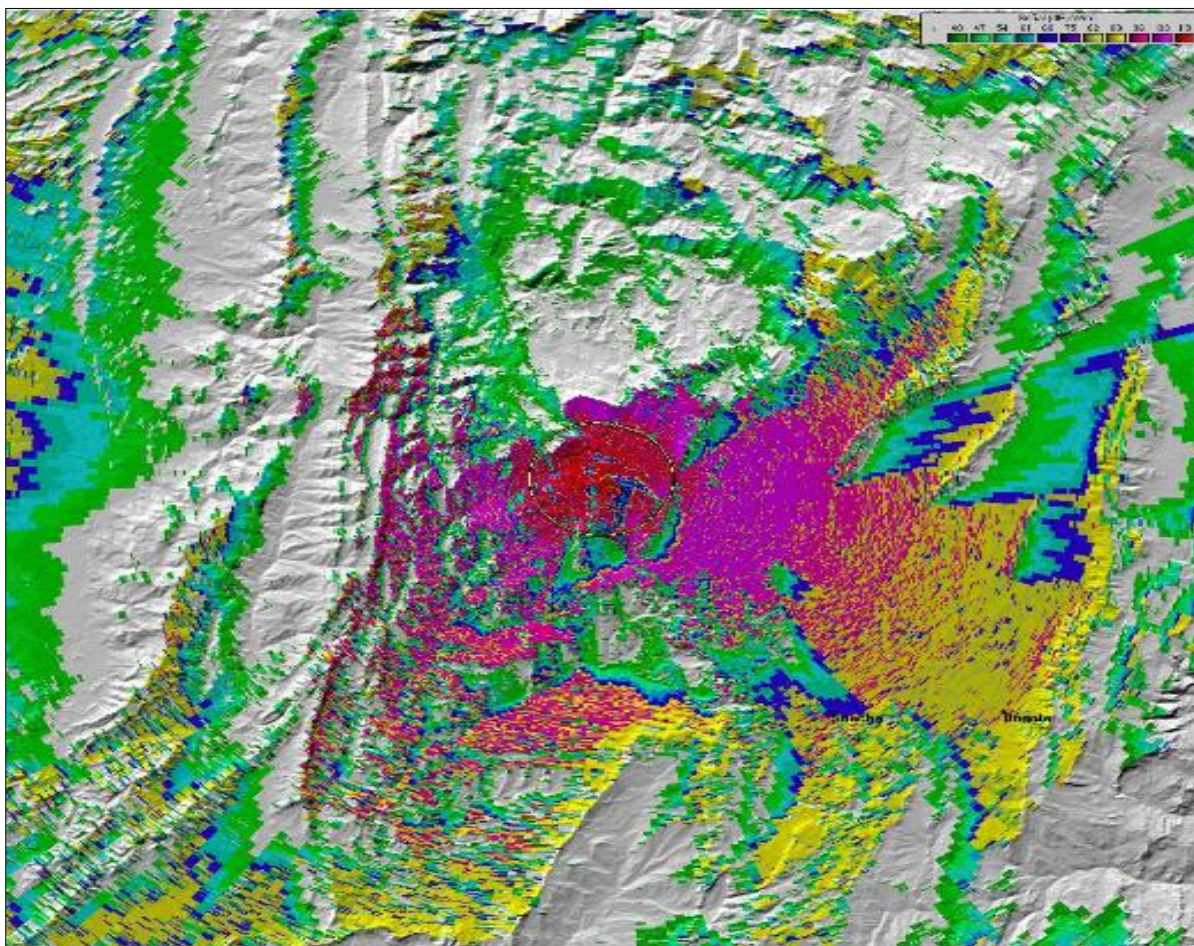


Figura 92. Simulación de Okumura-Hata, Manjui canal 17



**Figura 93.** Simulación de UIT-R P.526-13, Manjui canal 17



**Figura 94.** Simulación Longley Rice, Manjui canal 17

Estación La Popa 16

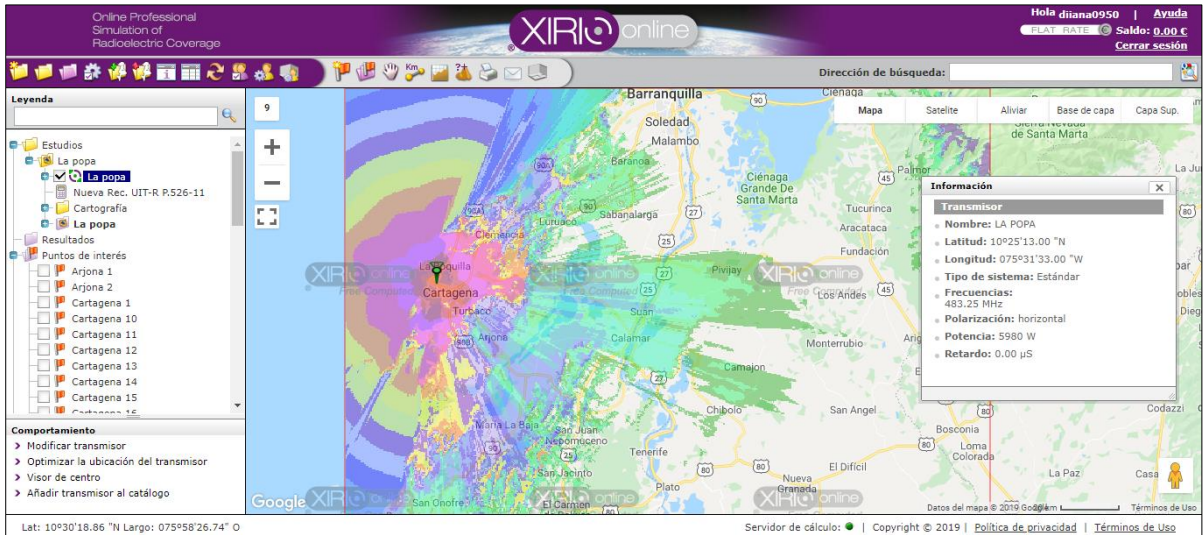


Figura 95. Simulación de UIT-R P.526-11, La Popa canal 16



Figura 96. Simulación de Deygout, La Popa canal 16



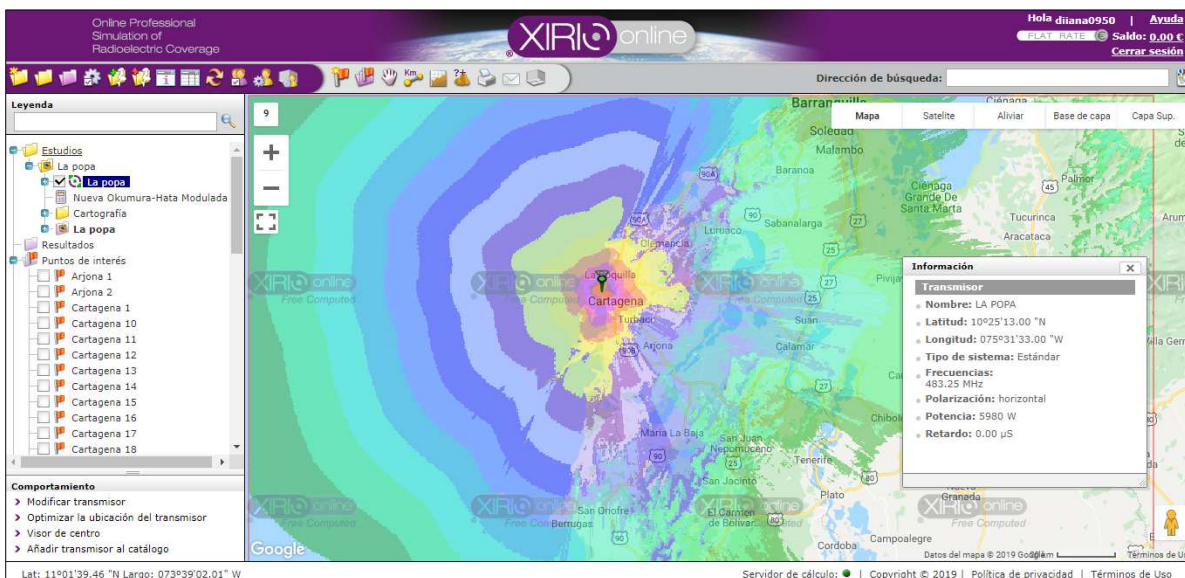


Figura 99. Simulación de Okumura-Hata, La Popa canal 16

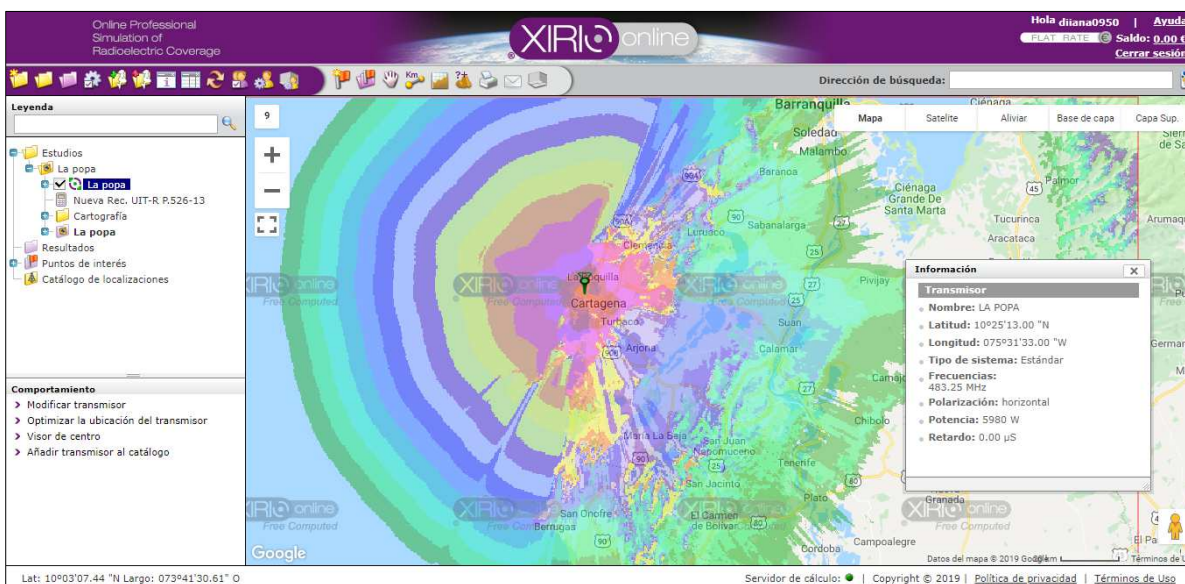
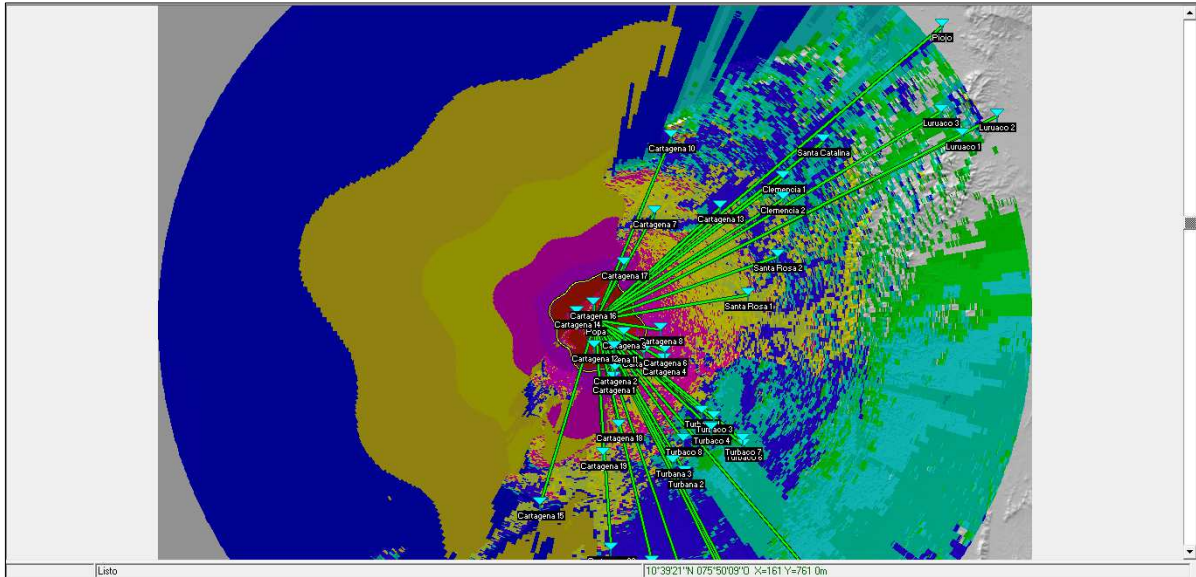
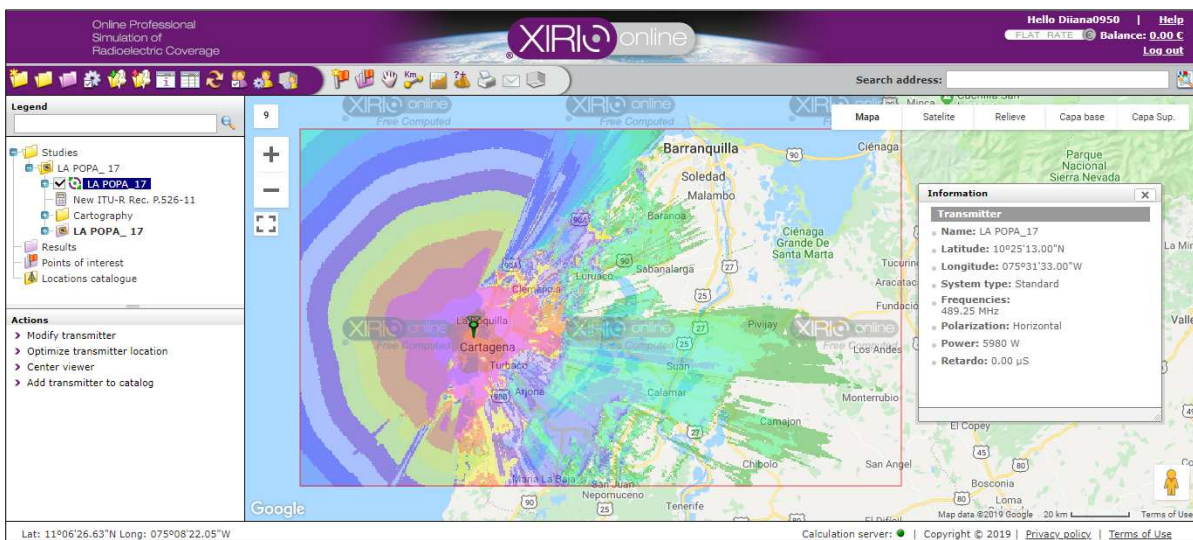


Figura 100. Simulación de UIT-R P.526-13, La Popa canal 16



**Figura 101.** Simulación Longley Rice, La Popa canal 16

Estación La Popa, canal 17



**Figura 102.** Simulación de UIT-R P.526-11, La Popa canal 17





Figura 103. Simulación de Deygout, La Popa canal 17

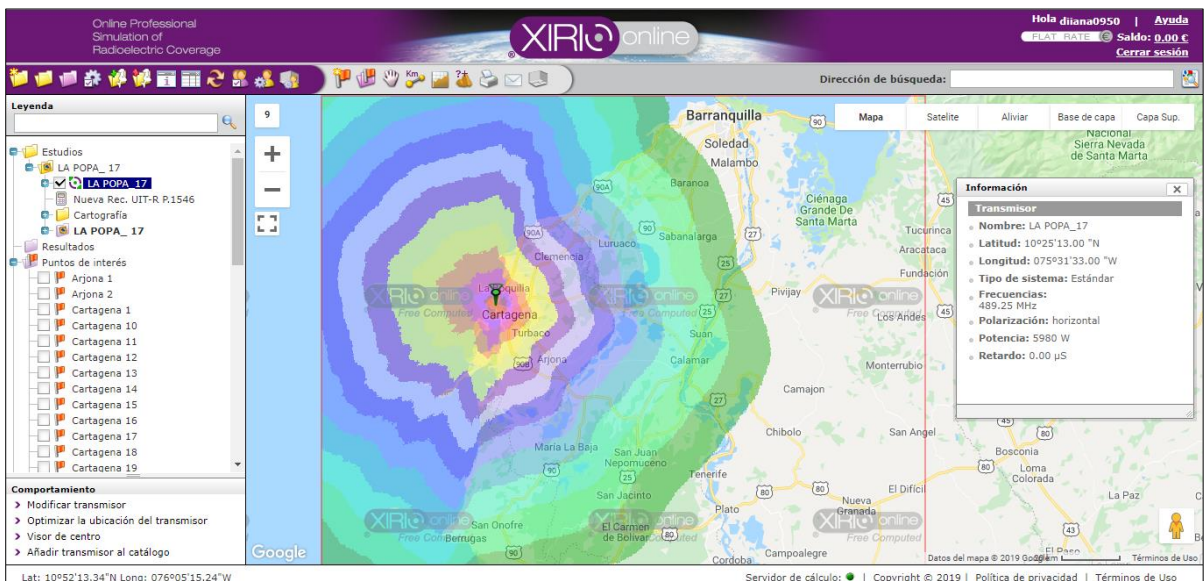


Figura 104. Simulación de UIT-R P.1546, La Popa canal 17

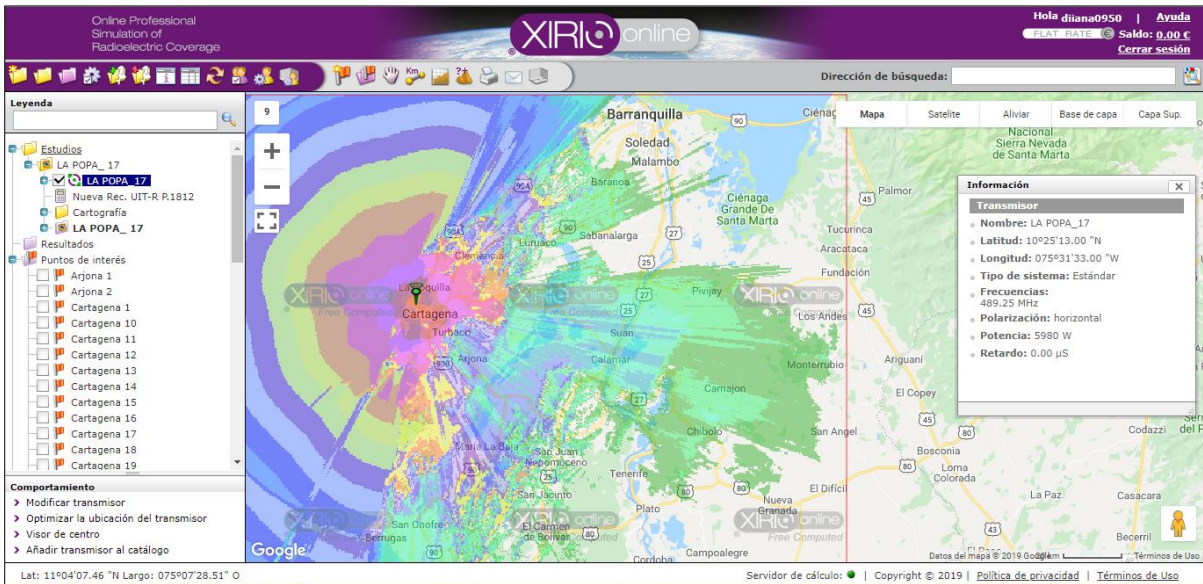


Figura 105. Simulación de UIT-R P.1812, La Popa canal 17

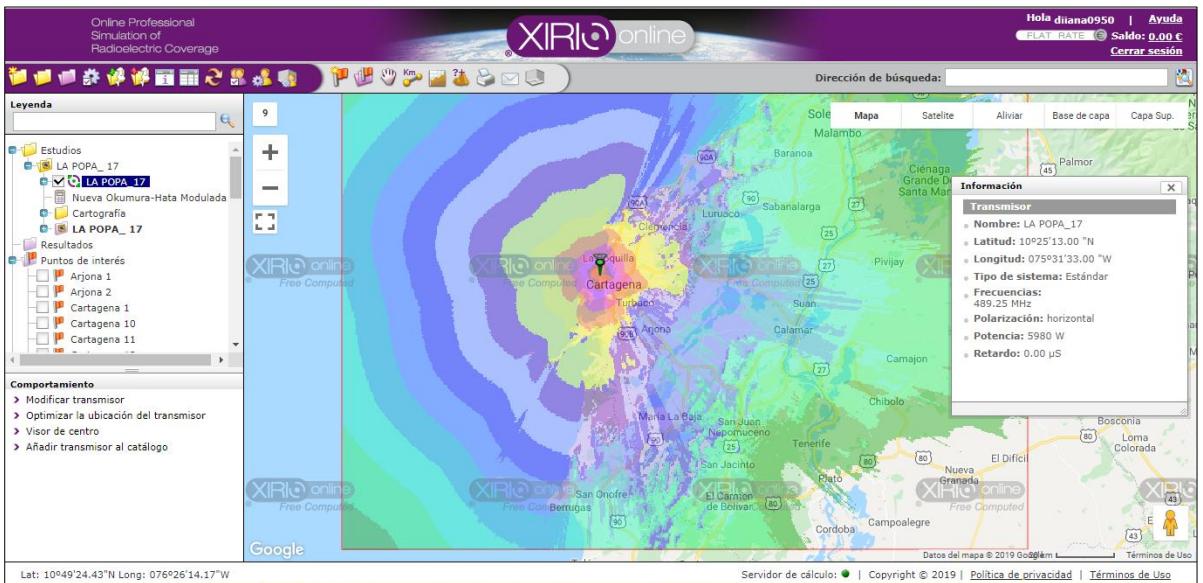


Figura 106. Simulación de Okumura-Hata, La Popa canal 17